

Movimento Browniano Unidimensional

Samuel Correia Rodrigues
Bacharelado em Física
Instituto de Física
Universidade de Brasília
Email: 202049249@aluno.unb.br

Resumo—O Movimento Browniano é um fenômeno bastante encontrado em sistemas físicos e seu estudo é de extrema importância. Este projeto tem como objetivo principal simular e analisar o movimento aleatório de partículas em um movimento unidimensional a partir da utilização do método de Monte Carlo. Desta forma, será possível averiguar algumas características intrínsecas ligadas ao funcionamento de sistemas difusivos. A partir de observações e análises, é possível determinar fatores comuns a qualquer sistema deste mesmo contexto e assim entender certas tendências e estimar alguns tipos de comportamentos. Assim, pode-se finalmente encontrar proporcionalidades comuns aos sistemas difusivos.

I. INTRODUÇÃO

No ano de 1827, o biólogo Robert Brown observou partículas de grãos de pólen na água através de um microscópio, e notou um movimento aparentemente aleatório sem conseguir determinar as causas dessa trajetória caótica. Diversos experimentos foram feitos posteriormente a fim de estudar e entender o misterioso fenômeno que se manifestava em tantas ocasiões e meios diferentes, porém foi clarificado mais precisamente apenas no século seguinte por Albert Einstein. O físico afirmou que o movimento era produto da interação do grão de pólen com as moléculas de água. Sendo atribuído ao nome de Movimento Browniano, este pode ser observado em diversos fenômenos físicos e se baseia no movimento aleatório que um corpo faz em reação a diversas forças sendo aplicadas de formas e direções diferentes.

Este projeto tem objetivo de simular, demonstrar e analisar o movimento aleatório unidimensional, ou seja, em que o corpo pode apenas se mover para um lado ou para o outro, de um conjunto de partículas. Essas simulações serão realizadas a partir do método de Monte Carlo, uma ferramenta estatística que se baseia em estimar as diversas possibilidades de um mesmo sistema inicial, e possui alta eficiência para o estudo de sistemas que envolvem amostras aleatórias. Por meio de repetições e observações, será possível estimar as principais peculiaridades desse fenômeno e buscar por correspondências interessantes em seus resultados e fatores.

Serão estudadas as propriedades de difusão normal, o comportamento do grupo amostral ao serem diferidas as condições iniciais da simulação, estimar a natureza de elementos como a variância da posição das amostras no tempo, a média temporal das trajetórias das partículas, a velocidade de drift e o coeficiente de difusividade. Além disso, tentaremos observar certas correlações entre estes fatores que podem auxiliar na

compreensão do movimento, e assim desenvolver um melhor entendimento acerca da proposta apresentada.

II. METODOLOGIA

A partir de simulações computacionais utilizando a linguagem Fortran 90, assumiu-se inicialmente uma mesma probabilidade da partícula ir para a direita e para esquerda para assim observarmos o processo de difusividade normal, ou seja, que possui uma tendência de dispersão semelhante para qualquer sentido. Foi gerado um conjunto de 1000 partículas, cada uma com uma trajetória individual, com a possibilidade de realizarem um movimento de 1 metro, para a direita ou para a esquerda, a cada segundo, em um período total de 500 segundos. Com os resultados, pode-se estimar a variância da posição dos elementos do conjunto em função do tempo e observar seu comportamento. No programa, a variância foi calculada a partir de uma manipulação da equação mais popular, dada pela seguinte expressão:

$$\sigma^2 = \sum \frac{x_i^2}{N} - \bar{x}^2 \quad (1)$$

Em que σ^2 é a variância, x_i é a posição de uma partícula i em determinado tempo, \bar{x} é a média das posições de todas as partículas em um mesmo tempo e N é o número total de partículas.

A fim de comparar os resultados com os de difusão normal, e utilizando os mesmos parâmetros de tempo do caso anterior, foram feitas simulações com diferentes probabilidades de uma partícula ir para cada lado, mais especificamente, com uma probabilidade de setenta por cento para a amostra mover-se para um lado, e de trinta por cento para ir ao lado oposto. Assim espera-se ser possível observar uma mudança na direção em que o conjunto se move em razão da alteração dessa condição básica do experimento, e consequentemente uma velocidade de drift diferente para cada probabilidade individual. Já alterando a quantidade de espaço que cada amostra pode se mover por período de tempo, espera-se ser possível observar outras mudanças na relação total do conjunto, como a forma de dispersão das amostras.

Com os resultados das etapas anteriores, pode-se estimar a velocidade de drift a partir de uma análise do coeficiente angular da reta formada pelos valores de velocidade média do conjunto de amostras. O desvio para um lado específico do circuito gera uma inclinação na reta, definindo assim a

velocidade de drift. Durante a análise de tal fator, tem-se o objetivo de observar a seguinte propriedade:

$$v_{drift} = (2q - 1) \frac{\Delta x}{\Delta t} \quad (2)$$

Em que q representa a probabilidade de ir para um lado e Δx é a distância percorrida em cada intervalo de tempo Δt .

Além disso, será analisada a natureza do coeficiente de difusão de cada contexto, ou seja, uma constante que representa a facilidade de espalhamento das amostras no meio. Esse coeficiente está presente em qualquer processo difusivo e será estimado a partir da variância calculada com as trajetórias das partículas após ser testado o comportamento linear da variância. A relação a ser observada pode ser expressada da seguinte forma:

$$\delta^2 = 2Dt \quad (3)$$

Em que δ^2 é a variância, D é o Coeficiente de Difusão e t é o tempo. Utilizando diversos valores para o tempo e o deslocamento, a relação entre estes e o coeficiente de difusão pode ficar mais clara.

Espera-se também, a partir de análises envolvendo o coeficiente de difusão, observar sua relação com as condições iniciais da simulação. Para isso, serão realizadas várias simulações alterando-se essas condições em cada uma, a fim de observar uma propriedade representada pela seguinte equação:

$$2D = \frac{(\Delta x)^2}{\Delta t} \quad (4)$$

Sendo Δx a distância percorrida em metros a cada intervalo Δt em segundos.

III. RESULTADOS E DISCUSSÃO

A partir das simulações com probabilidades tanto iguais quanto distintas de movimentação para cada lado foi possível obter os seguintes resultados:

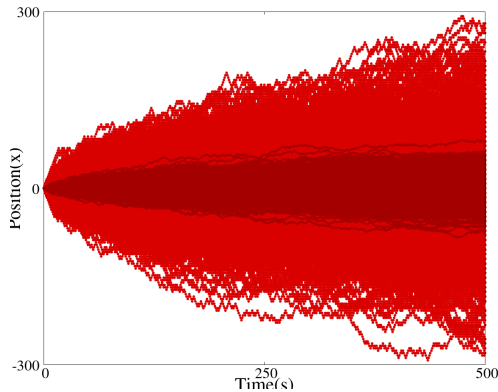


Figura 1: Trajetórias de dois conjuntos diferentes em difusão normal. Em marrom, conjunto com movimentação de 1 metro por segundo; em vermelho, conjunto com movimentação de 4 metros por segundo.

Pode-se observar na Figura 1 a dispersão das partículas em função do tempo. É notável que à medida em que o tempo progride a discrepância entre a distância relativa das partículas

aumenta gradativamente, de maneira que suas trajetórias se distanciam umas das outras gerando a forma do gráfico. Note que podemos encontrar uma simetria entre a área do gráfico que se encontra abaixo de zero com a área acima de zero, que significa que a média total da posição das partículas em relação ao tempo sempre oscilará em torno de zero em casos que a probabilidade de ir para cada lado é idêntica. Além disso, é possível observar como a diferença da quantidade de movimento por segundo de cada amostra influencia diretamente na difusão total do conjunto.

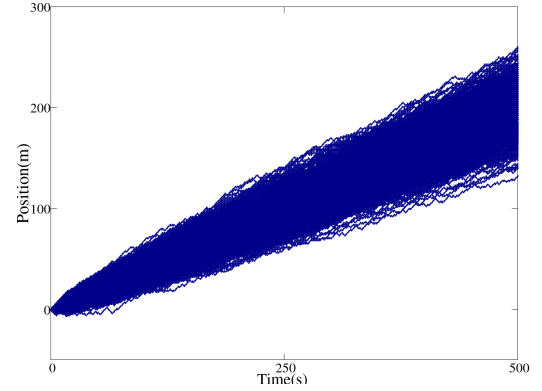


Figura 2: Trajetória de um conjunto com probabilidade de setenta por cento de mover-se para a esquerda

Já quando as condições iniciais são alteradas, pode-se notar comportamentos similares ao da Figura 2, em que é claro o desvio total do conjunto em direção ao lado que possuía uma tendência maior ao movimento. Em casos semelhantes a esse, é possível encontrar a velocidade de drift, que possui uma relação direta com a distribuição das probabilidades, ou seja, quanto maior a discrepância entre as chances de ir para cada sentido, maior será a velocidade de drift e mais o sistema se desviará para um lado específico.

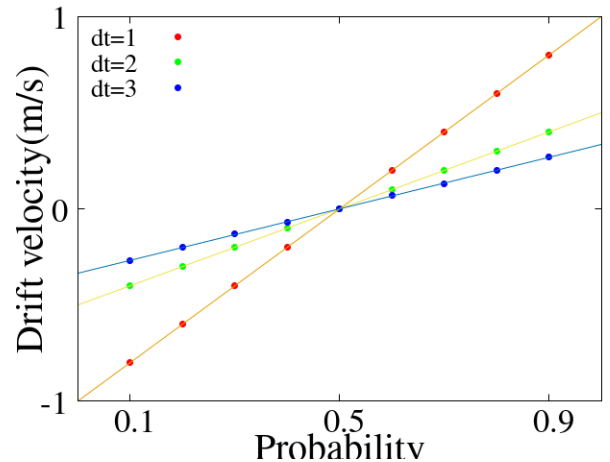


Figura 3: Demonstração do comportamento linear da variação da velocidade de drift para 3 intervalos de tempo em relação ao desequilíbrio de probabilidades

Ao observar a Figura 3, que apresenta valores de velocidade de drift baseados na inclinação da reta formada pela velocidade média para cada probabilidade por intervalo de tempo, é possível notar que quanto maior a discrepância entre as probabilidades de ir para cada lado, maior se torna a velocidade de drift. Além disso, existe uma correspondência inversamente proporcional da velocidade de drift em relação ao intervalo de tempo entre cada movimentação. A partir desses pressupostos, é possível inferir uma relação entre a velocidade média do conjunto e a probabilidade de movimentação existente, dada pela Equação 2. Isso se dá pelo fato de a velocidade de drift depender intimamente da influência da probabilidade e da influência dela sobre a velocidade média. Vale notar que, na expressão apresentada, a equação se iguala a zero caso a probabilidade seja de 0,5.

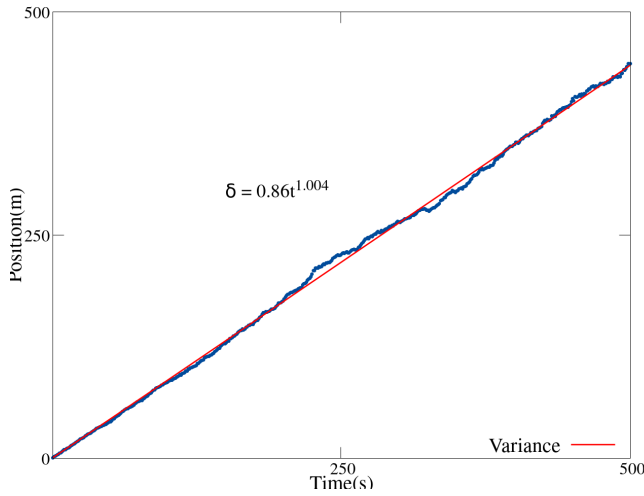


Figura 4: Ajuste linear da variância em cada posição no tempo

A variância do sistema apresenta sempre um comportamento linear, como é possível observar na Figura 4. Com o ajuste, foi possível realizar o teste de linearidade a partir da verificação do grau de t , que apresentou grau bem próximo a 1. Pode-se observar uma reta, que é crescente por conta do distanciamento progressivo entre as amostras como foi possível observar nas Figuras 1 e 2, causando assim o ganho na variância. Também é possível observar uma constante no coeficiente de t . Esse elemento, por ser constante, representa o coeficiente angular, ou seja, a taxa de crescimento da variância. Em outras palavras, temos a partir dessa constante o coeficiente de difusão. Já que as amostras se espalham de maneira bilateral, o coeficiente pode ser estimado dividindo a constante na relação pela metade, como é possível observar na Equação 3. Portanto, a variância entre as amostras será sempre diretamente proporcional à constante difusiva, e quanto maior a distância que cada amostra pode percorrer a cada intervalo de tempo, maior será também essa constante.

Ao ser analisado em diversos cenários das simulações realizadas, o coeficiente de difusão pode apresentar propriedades interessantes. À medida em que é alterada a distância a ser percorrida (Δx) por intervalo de tempo (Δt), pode ser

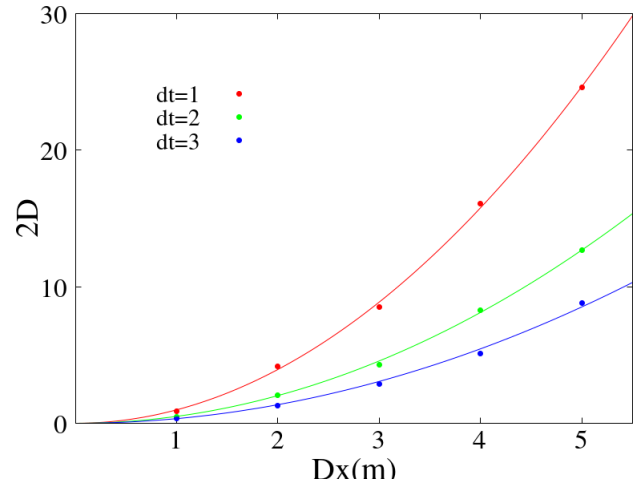


Figura 5: Valores de $2D$ em função de Δx para 3 Δt 's diferentes

observado um comportamento exponencial com os valores de $2D$, enquanto a alteração de Δt implica na magnitude da abertura da curva formada. É importante observar que todas as linhas coincidem-se em zero quando a distância a ser percorrida é nula, e voltam a crescer exponencialmente à medida que distanciam-se da origem. A partir dessa análise, pode-se inferir uma relação entre o coeficiente e as medidas de tempo e espaço do sistema. Já que a função apresenta um comportamento parabólico, $2D$ seria proporcional ao quadrado da distância, e por outro lado, inversamente proporcional ao intervalo de tempo, como é possível observar na Equação 4. Isso define também o coeficiente de difusividade como uma propriedade fortemente ligada à liberdade e rapidez de movimento do grupo amostral.

IV. CONCLUSÃO

A partir deste trabalho, foi possível estimar diversas grandezas pertencentes aos sistemas difusivos e observar as relações formadas entre si, de forma que a partir de um fragmento do sistema pode-se estimar várias outras características tanto de um mesmo sistema, quanto de qualquer outro em um contexto difusivo.

Os sistemas de difusividade ainda são grandes objetos de estudo e pesquisa nos dias de hoje. As propriedades observadas são de enorme importância para o entendimento dos movimentos Brownianos. Com a compreensão desses conceitos, é possível observar e analisar as correspondências entre os diferentes tipos de difusão e tendências de movimentos difusivos, tornando-nos capazes de estimar com mais discernimento esse fenômeno nos inúmeros contextos em que se é encontrado. As aplicações de tais conceitos são e ainda serão de grande utilidade para as mais vastas áreas da ciência e da tecnologia.